

2023 学年第一学期浙江省县域教研联盟高三年级模拟考试

地 理

命题：海宁市教师进修学校 审题：义乌市教育研修院 慈溪市教育局教研室

考生须知：

1. 本卷满分 100 分，考试时间 90 分钟；
2. 答题前，在答题卷指定区域填写班级、姓名、考场、座位号及准考证号并核对条形码信息；
3. 所有答案必须写在答题卷上，写在试卷上无效，考试结束后，只需上交答题卷；

选择题部分

一、**选择题 I** (本大题共 20 小题，每小题 2 分，共 40 分。每小题列出的四个备选项中只有一个是符合题目要求的，不选、多选、错选均不得分) 杭州小姜小范小张提供

特种机器人是指应用于军事、极限作业、应急救援等专业领域的机器人。近年来，特种机器人在我国得到快速发展和广泛应用。完成 1、2 题。

1. 特种机器人在我国应用广泛的主要原因是我国

- A. 政策支持 B. 技术先进 C. 地理环境复杂 D. 产业结构调整

2. 特种机器人产业在我国主要分布在东部地区的主导因素是

- A. 市场 B. 科技 C. 交通 D. 政策

上里古镇是四川盆地西缘的历史文化名镇，“店居”是当地常见的建筑，一楼用作经营，对着街巷开门，二楼居住。店铺门面窄，进深长，内设天井，底层沿街面后退留出部分公共空间。下图 1 为上里古镇村落示意图，下图 2 为店居建筑。完成 3、4 题。



第 3、4 题图 1



第 3、4 题图 2

3. 影响该区域村落分布的主导因素是

- A. 地形 B. 水源 C. 土壤 D. 交通

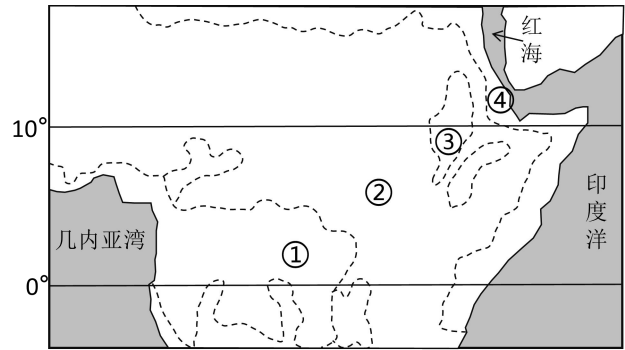
4. “店居”

- ①门面窄为了降低店铺租金 ②进深长有利于通风换气
③内设天井是为了增加采光 ④公共空间方便行人避雨

- A. ①② B. ①④ C. ②③ D. ③④

下图为非洲大陆部分区域自然带分布图，图中虚线表示自然带分界线。完成5、6题。

5. ③处分布的典型植被是
- A. 热带雨林
B. 热带草原
C. 热带荒漠
D. 山地植物
6. 图中①②④自然带的分布体现了
- A. 纬度地带性分异规律
B. 干湿度地带性分异规律
C. 垂直分异规律
D. 地方性分异规律



第5、6题图

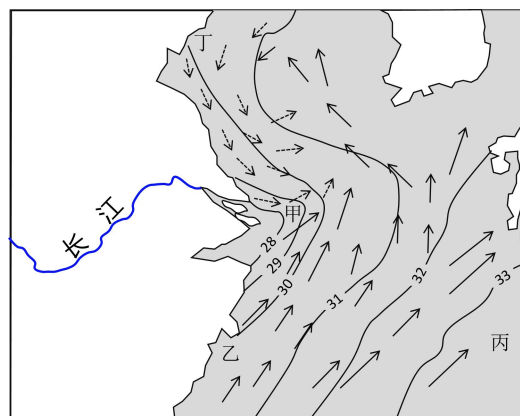
某冰淇淋与茶饮品牌企业M创立于1997年，其加盟店已超一万家，有近十分之一的门店分布在海外10多个国家。下图是企业M的发展历程示意图。完成7、8题。



第7、8题图

7. 2023年企业M推出动画片，主要是为了
- A. 拓展业务范围 B. 提高品牌价值 C. 增加就业岗位 D. 传播文化价值
8. 企业M做高品质平价产品得益于
- A. 技术投入多 B. 原料成本低 C. 产业链完善 D. 加盟企业多

下图为某海域8月等盐度线(‰)分布图，箭头表示海水运动方向(洋流)。完成9、10题。



—31— 等盐度线 → 暖流 - - - - - 寒流

第9、10题图

9. 影响甲处海水向东运动的主要因素是
- ①海水顶托 ②盛行风 ③地转偏向力 ④径流注入
- A. ①② B. ②③ C. ①④ D. ③④
10. 图中甲乙丙丁四海域说法正确的是
- A. 甲处降水多，盐度一年中最低 B. 丙处受暖流影响，盐度比乙大
- C. 丙、丁两处洋流都属于密度流 D. 乙处地表径流注入量大于丁处

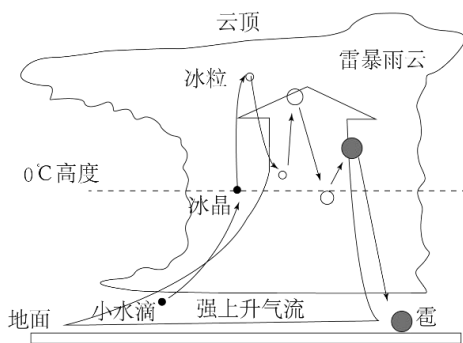
火龙果为喜热喜光水果，枝条顶端组织在适当的光照条件下分化花芽（发育成花和花序的芽）。火龙果夜晚开花，4-11月为产果期，谢花后30-40天果实成熟。广西隆安县火龙果现代化种植基地采用夜间补光技术，特别是冬春季节，下图为该地火龙果基地夜景图。完成11、12题。



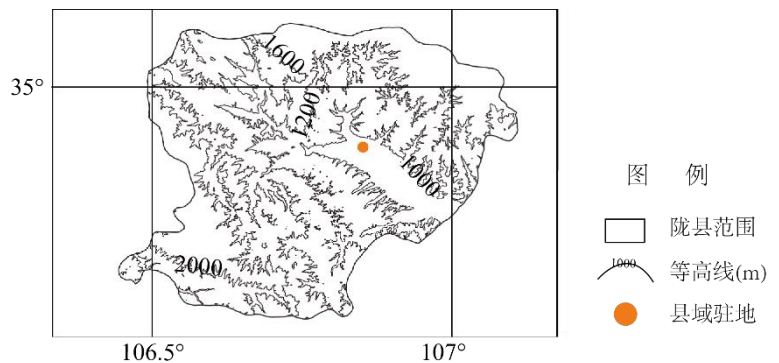
第11、12题图

11. 该地火龙果基地夜间补光的原因有
- ①促进枝条顶端组织分化花芽
 - ②夜间亮灯吸引趋光飞虫授粉
 - ③冬春季节补光可以提前上市
 - ④发展夜间旅游，增加其收入
- A. ①②③ B. ①③④ C. ①②④ D. ②③④
12. 在现代化农业中，“3S”技术普遍应用于农业生产，以下应用正确的是
- A. 用BDS精准估算火龙果产量
 - B. 用GIS精准管控夜灯范围
 - C. 用RS实现结果期精准施肥
 - D. 用BDS采集气温雨量信息

冰雹是一种固态降水现象，陕西陇县是有名的多雹区。下图1是冰雹形成示意图，下图2是陇县及周边等高线地形图（单位：m）。完成13、14题。



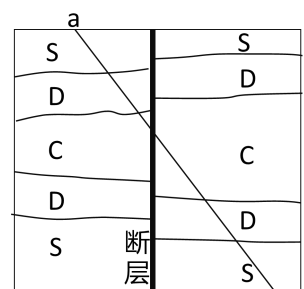
第13、14题图1



第13、14题图2

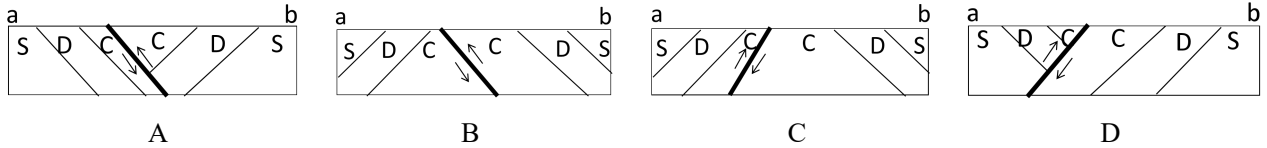
13. 陇县夜间多冰雹天气，其原因可能是该地
- A. 地形闭塞，水汽多
 - B. 气温高，蒸发旺盛
 - C. 气流剧烈上升
 - D. 垂直温差较小
14. 2022年1~5月，陇县冰雹日较往年偏多，原因可能是
- A. 蒙古—西伯利亚高压的势力强盛
 - B. 北上暖湿气流势力偏强
 - C. 春季气温较往年低，水汽易凝结
 - D. 高空0°C大气层位置偏高
- 右图为某地地质平面图，图中各地海拔相近，字母代表岩层，S→D→C岩石年龄由新到老。完成15、16题。

15. 图中断层
- A. 岩石破碎易发育成河流
 - B. 适宜开辟地下管道网络
 - C. 水平方向发生明显错位
 - D. 地下水位正在不断下降



第15、16题图

16. 沿图中 ab 剖面线的地质剖面图可能是



下表为我国某四个省级行政区的常住人口（单位：万人）和人口自然增长率（单位：‰）。完成17、18题。

	2018年		2019年		2020年		2021年	
	常住人口	人口自然增长率	常住人口	人口自然增长率	常住人口	人口自然增长率	常住人口	人口自然增长率
甲	3822	7.05	3848	6.70	3858	6.53	3852	4.98
乙	587	8.06	590	7.58	593	4.78	594	4.31
丙	8446	2.41	8469	2.21	8477	0.17	8505	-1.12
丁	2475	-1.9	2481	-2.31	2488	-3.52	2489	-4.36

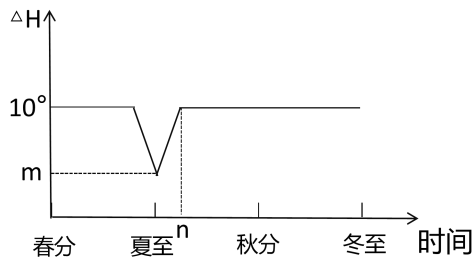
17. 甲行政区可能是

- A. 上海市 B. 青海省 C. 江苏省 D. 贵州省

18. 以下说法正确的是

- A. 甲行政区常住人口持续增加 B. 乙行政区人口流出现象明显
C. 丙行政区经济发展水平最高 D. 丁行政区严格控制人口增长

某地正午时北京时间为 12:40，该地与杭州（30°N，120°E）之间正午太阳高度之差 ΔH 年变化情况如图所示。完成 19、20 题。

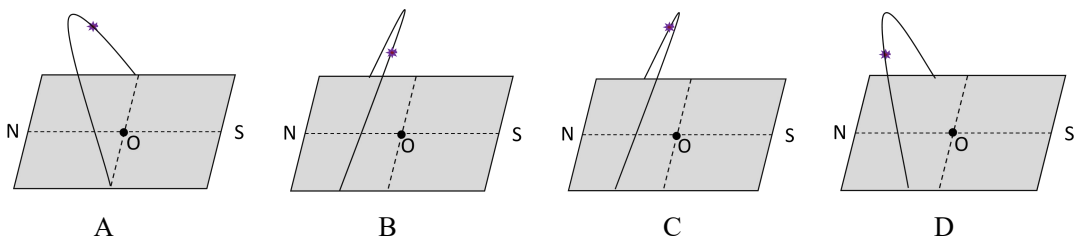


第 19、20 题图

19. 图中 m 的数值为

- A. 2.5° B. 3° C. 3.5° D. 4°

20. 下图中 O 点为观测者位置，曲线表示太阳在天空中走过的轨迹。上图中 n 日杭州正午时，该地太阳在天空中的位置最接近



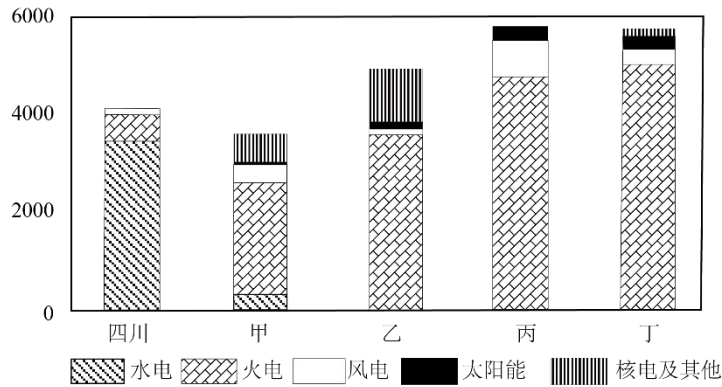
二、选择题 II（本大题共 5 小题，每小题 3 分，共 15 分。每小题列出的四个备选项中只有一个是符合题目要求的，不选、多选、错选均不得分） 杭州小姜小范小张提供

数据中心是数据存储、计算的重要基础设施，运转和冷却耗电量大。宁夏建有国家大数据灾备中心，灾备（DR）指的是容灾与备份结合，确保系统遭受灾难时数据安全及业务的快速恢复。灾备是网络安全保障体系的重要组成部分，也是网络与系统基础设施持续有效运行的基本保障。完成第 21 题。

21. 宁夏建设大数据灾备中心的有利条件有

- ①自然灾害少 ②劳动力廉价 ③太阳能丰富 ④基础设施完善
 A. ①② B. ①③ C. ②④ D. ③④

下图为我国五个省区 2020 年的发电总量及构成图（单位：亿千瓦时）。完成 22、23 题。



第 22、23 题图

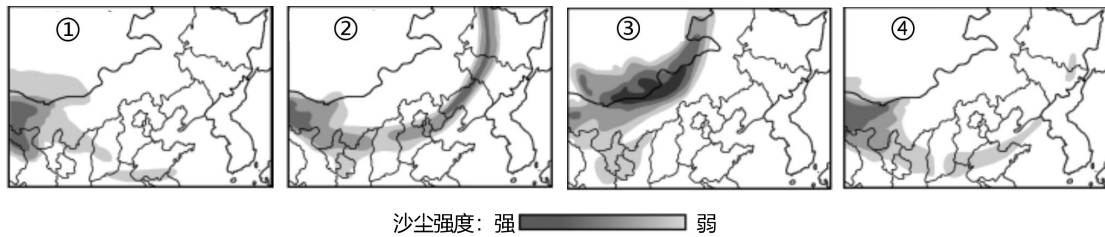
22. 甲、乙、丙、丁四省依次为

- A. 福建 广东 内蒙古 山东 B. 福建 内蒙古 山东 广东
 C. 内蒙古 广东 福建 山东 D. 广东 福建 山东 内蒙古

23. 2022 年夏，四川省内各地出现大规模工业限电停电，原因最可能是

- A. 化石能源缺乏，火力发电不足 B. 汛期降水少，发电量不足
 C. 地处四川盆地，电网建设困难 D. 工业发展快，用电量大增

下图是我国 3 月北方地区发生的一次大规模沙尘暴天气过程的四个阶段。完成 24、25 题。

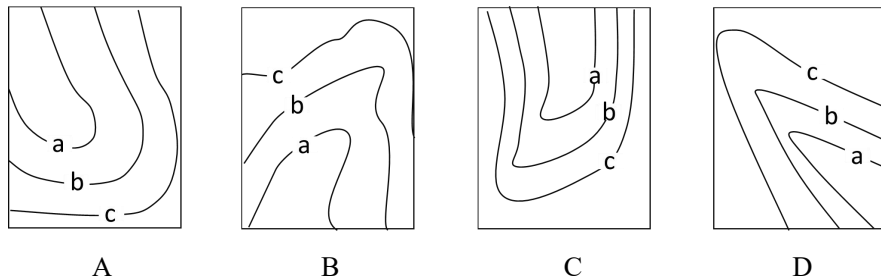


第 24、25 题图

24. 此次沙尘天气发生过程的顺序排列正确的是

- A. ①④②③ B. ③①②④ C. ③②④① D. ④①②③

25. 沙尘天气出现区域的近地面等压线（ $a < b < c$ ）分布情况可能是

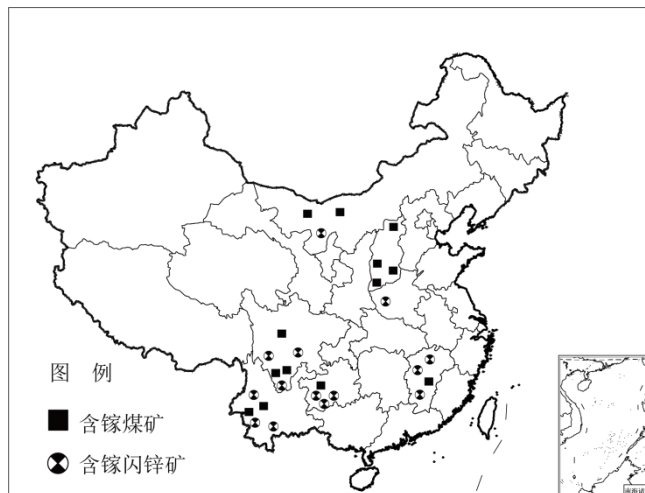


非选择题部分

三、非选择题（本大题共 3 小题，共 45 分）

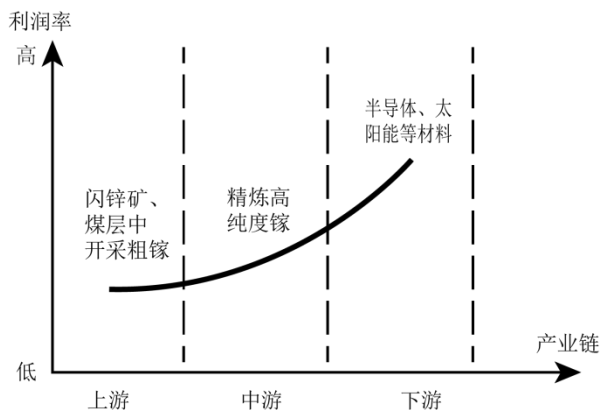
26. 阅读材料，完成下列问题。（12 分）

材料一：金属矿产镓是一种广泛应用于卫星通讯、半导体、太阳能等高精尖产业的战略性资源。该矿产储量极小且常与其他矿物伴生，所以工业用镓主要来自闪锌矿、煤矿等矿床的副产品。目前，全球可统计的镓储量大约 27 万吨，中国约 19 万吨，居世界之首。下图 1 为含镓矿床主要分布图。



第 26 题图 1

材料二：镓生产需要一整套由粗到精的产业链，而且镓的全产业链对资本和技术的要求很高，下图 2 为镓的全产业链。中国占绝对优势的只有初级加工的粗镓产品。应用于半导体的高纯度镓和再生镓的生产国主要是美国和日本。



第 26 题图 2

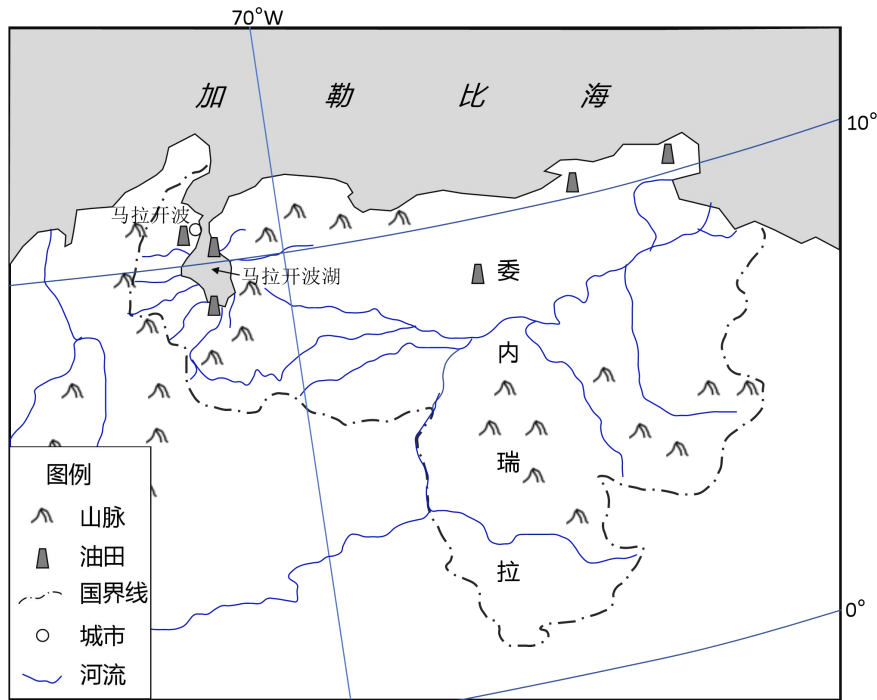
- (1) 简述我国镓资源的特点。（3 分）
- (2) 分析我国在镓矿开采过程中易产生的环境问题。（3 分）
- (3) 从资源安全角度，为我国将镓矿资源优势进一步转化为战略优势，提出合理化建议。（6 分）

27. 阅读材料，回答问题。（13分）

材料一：2023年9月8日至14日，委内瑞拉总统马杜罗应邀访华，推动两国在能源领域合作。委内瑞拉石油资源丰富，马拉开波湖是主要石油产区之一，由于缺乏必要投资，石油开产技术落后、设备老化，效率低下，石油开产成本较高。 杭州小姜小范小张提供

材料二：马拉开波湖原本仅通过一条狭窄的水道与加勒比海连接，海水很难进入湖区内。但为了发展湖内的采油业，50多年前人们开始将连接外海的水道拓宽、挖深，以便大吨位的货轮和油轮驶入。水上交通便利了，可问题也随之而来。海水逐渐倒灌侵入湖心，造成大量水藻和微生物死亡，渔业资源不断减少，当地渔民到了无鱼可捕的地步。

材料三：下图是委内瑞拉区域简图，下表是马拉开波四个时间段的气候资料。



第 27 题图

气候要素	12月—2月	3月—5月	6月—8月	9月—11月
多年平均气温(°C)	28.2	29.5	29.6	28.5
多年平均降水量(mm)	25	125	141	289
多年平均降水日数(天)	5	16	23	33

- (1) 分析海水原本很难进入马拉开波湖的原因，并推测水道拓宽、挖深后，海水侵入湖心的时间段。（5分）
- (2) 从资源利用角度，列举马拉开波湖附近渔民未来的就业途径。（4分）
- (3) 简述委内瑞拉积极与中国开展能源合作的出发点。（4分）

28. 阅读材料，回答问题。（20分）

材料一：燥红土是发育于热带和亚热带干旱的稀树草原性植被下的土壤。在云南某些地区，由于受河流的切割，形成高山峡谷地形，相对高差在2000米以上，产生了干热的焚风，这些地区的气候具有气温高、旱季长等特点。下图为云南省燥红土分布示意图。



第 28 题图

材料二：人工降雨可以控制降水量和降水持续时间，从而模拟降水后不同土地利用类型产流时间和含沙量的差异。下表为某次人工降雨开始后燥红土不同土地利用类型（包括裸地、坡耕地、灌草地）产流产沙效应。

土地类型编号	起始产流时间 (min)	稳定产流时间 (min)	总径流量 (L)	含沙率 (kg/m ³)	总产沙量 (g)
①	31	61	136	68	9248
②	34	79	124	42	5082
③	75	150	42	20	840

材料三：云南省兰坪县境内燥红土广布，生态环境脆弱。该地政府立足优势，采用“林—果—中药”间作套种的方式，建成4000亩银杏种植，5000亩特色水果（芒果、石榴），1450亩金银花的特色产业示范种植基地。

- 云南省燥红土主要分布在_____（填地形），从水循环角度分析原因。（4分）
- 表中土地类型编号按裸地、灌草地、坡耕地排序的是_____。与①相比，说明③土地利用类型产流时间晚、产沙量小的原因。（5分）
- 简述燥红土分布区农业发展的有利自然条件。（5分）
- 说出燥红土分布区农业发展需要解决的问题及对策。（6分）